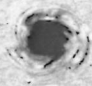


PF<sub>2</sub>



3701 - III

1964

$\text{BF}_2$ ;  $\text{CF}_2$ ;  $\text{NF}_2$ ;  $\text{AlF}_2$ ;  $\text{PF}_2$ ;  $\text{ZrF}_2$

( )

Nagarajan G.  
Indina J. Pure Appl. Phys., 1964,  
2(II), 341-3

Mean amplitudes of vibration ...

J

PF<sub>2</sub>

Wade G.

1965

b-5

(y)

Mass spectrometric  
investigations of some  
inorganic and organic  
phosphorus compounds.  
(dissertation).

PF<sub>2</sub>

Wan Y.K.S.,  
Morton Y.R.,  
Bernstein H.Y.

1966

Can. J. Chem., 44, N16, 1957 (1966)

Смесь  $\text{N}_2\text{H}_4^+$  и  $\text{PF}_2$

(Cm. <sup>III</sup> $\text{N}_2\text{H}_4^+$ )

$PF$ ,  $PF_2$ ,  $PF_3$ ,  $P_2F_4$ ,  $P_3F_5$ ,  $F_6P_4(Vi)$  - 1969  
Solon. D., XIII 1247

U.S. Clearinghouse Fed. Sci. Tech.  
Inform., PB Rep., 1969, PB-187819, 247pp  
(asul)

Production, reactions, and spectra  
of low-valent highly reactive chemi-  
cal species - with special emphasis  
on the phosphorous - fluorine system

10 U (B)

CA 1970 12, N18, 96190x

1970

8 Б1047. Исследование ИК-спектров продуктов фотолиза  $\text{PF}_2\text{H}$  и  $\text{P}_2\text{F}_4$  и продуктов термического разложения  $\text{P}_2\text{F}_4$ . Burdett Jeremy K., Hodges Leslie, Dunning Virginia, Current Jerry H. Infrared studies of the matrix isolated photolysis products of  $\text{PF}_2\text{H}$  and  $\text{P}_2\text{F}_4$  and the thermal decomposition products of  $\text{P}_2\text{F}_4$ . «J. Phys. Chem.», 1970, 74, № 23, 4053—4059 (англ.)

Продукты фотолиза  $\text{PF}_2\text{H}$  в Ag-матрице при  $4^\circ\text{K}$  поглощают при  $831,4$  и  $852,1 \text{ см}^{-1}$ . Эти полосы поглощения приписываются валентным колебаниям, радикала  $\text{PF}_2\cdot$ . Продукты термич. разложения  $\text{P}_2\text{F}_4$  в Ag-матрице поглощают при более низких частотах. При фотолизе

+1

X. 1971. 8



$P_2F_4$  наблюдаются широкие полосы поглощения ( $\nu = 10 \text{ см}^{-1}$ ) при  $834,0$  и  $843,5 \text{ см}^{-1}$ , приписываемые возбужденным  $PF_3^{\cdot}$ -радикалам, к-рые не смогли проидентифицировать далеко от молекулы  $P_2F_4$ . Семь сильных полос поглощения при  $967, 924, 898, 811, 751, 580, 399 \text{ см}^{-1}$  и слабая полоса при  $408 \text{ см}^{-1}$  связываются с молекулами  $PF_3=PF$ , образующимися при фотоллизе  $P_2F_4$ . Из резюме

1970

PF<sub>2</sub>

8039t' Infrared studies of the matrix isolated photolysis

PF<sub>3</sub>:PF

products of PF<sub>2</sub>H and P<sub>2</sub>F<sub>4</sub> and the thermal decomposition products of P<sub>2</sub>F<sub>4</sub>. Current, Jerry H.; Burdett, Jeremy K.; Hodges, Leslie; Dunning, Virginia (Gulf Res. and Dev. Co., Pittsburgh, Pa.). *J. Phys. Chem.* 1970, 74(23), 4053-9 (Eng). The photolysis of PF<sub>2</sub>H in Ar matrices at 4°K produced absorptions at 831.4 and 852.1 cm<sup>-1</sup> which are assigned to the stretching modes of the PF<sub>2</sub> free radical. An absorption at the lower frequency is also obsd. when the products of the thermal decompn. of P<sub>2</sub>F<sub>4</sub> are isolated in Ar matrices. Photolysis of P<sub>2</sub>F<sub>4</sub> results in broader absorptions (5-10 cm<sup>-1</sup>) at 834.0 and 843.5 cm<sup>-1</sup> which are ascribed to perturbed PF<sub>2</sub> radicals which are not able to diffuse far from the site of the original P<sub>2</sub>F<sub>4</sub> mol. Seven strong ir absorptions at 967, 924, 898, 811, 751, 580, 399, and a weaker absorption at 408 cm<sup>-1</sup>, are assigned to the species PF<sub>3</sub>:-PF formed by the photolysis of P<sub>2</sub>F<sub>4</sub>.

(1/2)

uenu.  
09070my

RCKG

C.A. 1971.74.2

+1

X

PF<sub>2</sub>

спектр  
ЭПР

1970  
1) 15 Б257. Анизотропный спектр ЭПР, PF<sub>2</sub> в замороженных матрицах. Wei Michael S., Current Jergу H., Gendell Julien. Anisotropic electron spin resonance spectrum of PF<sub>2</sub> in low-temperature matrices. «J. Chem. Phys.», 1970, 52, № 3, 1592—1602 (англ.)

Наблюден анизотропный спектр ЭПР радикала PF<sub>2</sub>, полученного термич. разложением газа P<sub>2</sub>F<sub>2</sub> или при фотоллизе PF<sub>2</sub>H в аргоновой матрице. Проявление в спектре ЭПР 12 линий интерпретировано, как доказательство наличия произвольно ориентированных радикалов с аксиально симметричными тензорами  $g$  и сверхтонкого взаимодействия. Определены параметры этих тензоров. Сопоставление с данными для NF<sub>2</sub>, показывает, что неспаренный электрон в PF<sub>2</sub> в большей степени локализован на центральном атоме, чем в NF<sub>2</sub>. Этот результат подтверждается также расчетами расширенным методом Хюккеля. Резюме

У. 1970. 15

XIII - 2051

1972

$PM_2$ ,  $PF_2$ ,  $PCl_2$ ,  $PF^+$ ,  $PCl^+$ ,  $PF_4$  (kb. cells.)  
 $PCl_4$ ,  $PO_2$ ,  $PO_3^{2-}$ ,  $PO_3$ ,  $MPa_2$ ,  $FPa_2$  (vacuum)

Wilcoist D., Thomson C.,

J. Chem. Soc., Faraday Trans. 2,  
1972, 68 (Pt. 3), 435-43 (Ouzi)

Complete neglect of differential  
overlap (CVD) calculations on small  
radicals containing ● phosphorus

C.A., 1972, 76, v. 16, 902-975

hD

40305.6654

PF<sub>2</sub>

1973

Ph, Ch, TE, Ex-C

96201

1850

Cobb J. C., Hinchliffe A. An AB initio  
molecular orbital study of the PF<sub>2</sub>  
radical. "Chem. Phys. Lett.", 1974,  
24, N 1, 75-76

(англ.)

0058

041 042 0.51

ВИНИТИ

PF<sub>2</sub>

1973

(3)

165907z Dissociation and ionization of difluorocyanophosphine. Harland, P. W.; Rankin, D. W. H.; Thynne, J. C. J. (Chem. Dep., Edinburgh Univ., Edinburgh, Scot.). *Inorg. Chem.* 1973, 12(6), 1442-3 (Eng). The principal ions (relative intensities given in parentheses) obsd. at 70 eV in the mass spectrum of PF<sub>2</sub>CN were: PF<sub>2</sub>CN<sup>+</sup> (22), PFCN<sup>+</sup> (9.1), PF<sub>2</sub><sup>+</sup> (100), PF<sup>+</sup> (9.2), CN<sup>+</sup> (3.3); PF<sub>2</sub>CN<sup>-</sup> (6.4), PF<sub>2</sub><sup>-</sup> (10), FCN<sup>-</sup> (1), F<sub>2</sub><sup>-</sup> (1), CN<sup>-</sup> (1000), F<sup>-</sup> (47). Possible reactions for the formation of some of these ions were discussed. Some of the estd. energies were: PF<sub>2</sub>-CN bond dissocn. energy <3.4-3.8 eV, ionization potential of PF<sub>2</sub> <10.0 ± 0.3 eV, and heat of formation of PF<sub>2</sub>CN ~ -4.1 ± 0.6 eV.

(+1) PF<sub>2</sub>CN (ΔH<sub>f</sub>)

⊗

C. A. 1973. N26. 78

1974

XIII - 2587

PF<sub>2</sub>

138754g Ab initio molecular orbital study of the phosphorus difluoride radical. Cobb, J. C.; Hinchliffe, A. (Chem. Dep., Univ. Manchester Inst. Sci. Technol., Manchester, Engl.). *Chem. Phys. Lett.* 1974, 24(1), 75-6 (Eng). Excellent agreement with expt. (W. Nelson, et al., 1970) was obtained with the ESR coupling consts. of the PF<sub>2</sub> radical that were calcd. by using Gaussian-type orbitals (H., 1971).

(м.н.)

кв. мех.  
расчет.

C.A. 1974. 80. N24.

PF<sub>2</sub>

XIII - 2581

1974

7 Д121. Исследование неэмпирическим методом молекулярных орбиталей радикала PF<sub>2</sub>: Cobb J. C., Hinchliffe A. An *ab initio* molecular orbital study of the PF<sub>2</sub> radical. «Chem. Phys. Lett.», 1974, 24, № 1, 75—76 (англ.)

Электр-  
состав

Неэмпирич. методом ССП МО ЛКАО проведен расчет электронного строения радикала PF<sub>2</sub>. Использован расширенный базис АО слэтеровского типа с экспонентами Клементи—Раймонди, дополненный 3s- и 3p-АО атома F и 3d-, 4s- и 4p-АО атома P, аппроксимированных гауссовскими ф-циями, от 5 гауссовских ф-ций для 1s-АО до 1 для дополнительных АО. Длина связи P—F принята равной 1,52 Å, валентный угол 100°. Расчеты выполнены неограниченным методом Хартри—Фока с аннигиляцией квартетной спиновой компоненты. Рассчитанные значения констант СТС находятся в хорошем согласии с эксперим. данными.

А. А. Б.

ф. 1974 N 7

XIII - 2581

1974

PF<sub>2</sub>

13 Б30. Неэмпирическое исследование радикала PF<sub>2</sub> методом молекулярных орбиталей. Cobb J. C., Hipchcliffe A. An ab-initio molecular orbital study of the PF<sub>2</sub> radical. «Chem. Phys. Lett.», 1974, 24, № 1, 75—76 (англ.)

расчет

Представлены результаты неэмпирич. расчета констант изотропного сверхтонкого взаимодействия (ИСТВ) с ядрами F<sup>19</sup> и P<sup>31</sup> в σ-электронном радикале PF<sub>2</sub>. Для длины связи P—F было выбрано значение 1,52 Å, а угол между связями принят равным 100°. Расчеты выполнены с использованием расширенного базиса, в котором наряду с миним. набором орбиталей слейтеровского типа были учтены ближайшие вакантные s- и p-АО, а для атома P еще и 3d-АО. Слейтеровские АО были аппроксимированы гауссовскими. Константы ИСТВ вычислены как до (a<sub>вА</sub>), так и после (a<sub>лА</sub>) удаления примесной квартетной компоненты из волновой функции неограниченного метода Хартри—Фока. Оцененные по соотношению Амоса  $a = (1/4)(a_{вА} + 3a_{лА})$  теор. величины хорошо согласуются с эксперим. данными.

Н. Д. Чувылкин

X. 1974. № 13

111-1582

1974

\*4-6841

PF<sub>2</sub>

SF<sub>3</sub>

4 Б320. Спектры ЭПР радикалов PF<sub>2</sub> и SF<sub>3</sub>. Colussi A. J., Morton J. R., Preston K. F., Fessenden Richard W. ESR spectra of PF<sub>2</sub> and SF<sub>3</sub> radicals. «J. Chem. Phys.», 1974, 61, № 3, 1247—1248 (англ.)

спектры  
ЭПР

В интервале т-р от -100 до -140° исследованы спектры ЭПР радикалов PF<sub>2</sub> и SF<sub>3</sub>, полученных двумя методами: при облучении электронами PF<sub>3</sub> (5 мол.%) в C<sub>2</sub>F<sub>6</sub>, и SF<sub>6</sub>; при УФ-фотолизе замороженных р-ров PF<sub>2</sub>Cl и H<sub>2</sub>S+CF<sub>3</sub>OF во фреоне-13. Определены параметры спектров ЭПР PF<sub>2</sub>: g=1,9994—1,9997; a<sub>P</sub>=81,3—82,0; a<sub>F</sub>=33,1—32,4 гс и SF<sub>3</sub> g=2,0054—2,0050; a<sub>F</sub> (одно ядро)=40,4—41,0; a<sub>F</sub> (два ядра)=54,3—48,7 гс. В свете полученных данных пересмотрена идентификация радикалов, наблюдавшихся разными авторами, как PF<sub>2</sub> и SF<sub>3</sub>.

В. В. Жуков

ж. 1975. №4

(+1) ☒

50106.7329  
Ch, Ph, TC

PF<sub>2</sub> + 29862 02  
(AP)

1974  
\*4-8018

Dean Christopher R.S., Finch Arthur,  
Gardner Peter J., Payling David W.  
Appearance and ionization potentials  
of ions produced by electron-impact on  
some phosphorus-fluorine compounds: the  
phosphorus-phosphorus bond dissociation  
energy in diphosphorus tetrafluoride.  
"J.Chem.Soc.Faraday Trans.", 1974, Part I,  
70, N. 11, 1921-1925 (англ.)

Рис. Р.Ф.У.ИИ

254 255 0 2 6 7 0 2 7 5 ДИК ВИНТИ

$PF_1^+$ ,  $PF_2^+$ ,  $PF_3^+$ ,  $F^-$ ,  $F_2^-$ ; (A.P.) 1974  
 $PF_1^-$ ,  $PF_2^-$ ,  $CN^+$ ,  $PF^+$ ,  $FCN^-$  (D<sup>o</sup>)  $\bar{x}14216$   
 $PF_3$ ;  $PF_2CN$

Harland P.W., Rankin D.W.H., Thynne J.  
e.g.

Int. J. Mass spectrom. and Ion  
Phys., 1974, 13, N4, 395 - 410 (anal.)  
Ionization by electron impact  
of phosphorus trifluoride difluoro  
cyanophosphine.

BePis, 1974, 11D236

10 (P)  
(см. оригинал)

41225.9102

Ph, Ch, TC

PF<sub>2</sub> 96201 02  
(равнов. геом)

1974

44-7693

Hudson A., Wiffen J.T.

XIII-2892-89

The structure of phosphino and phospho-  
ranyl radicals. "Chem. Phys. Lett.",  
1974, 29, N 1, 113-115

(см PH<sub>2</sub> III)  
(англ.)

0265 ДИК

243 243 = 251

ВИНИТИ

50730.9091

Ph, Ch, TC

96201

PF<sub>2</sub>

1975

\*У-9510

Kendrick J., Hillier I.H., Guest M.F.  
The calculation of hyperfine coupling  
constants of NF<sub>2</sub> and PF<sub>2</sub> by UHF and  
CI methods. "Chem. Phys. Lett.", 1975,  
33, N 1, 173-175

(англ.)

0422 пик

ВИНИТИ

383 383

$F_3$ ,  $PF_2$ ,  $PF$  (3) XIII 2933 1975

Torgerson D.F., Westmore J.B.,  
Can. J. Chem., 1975, 53 (6), 933-8.

Energetics of the ionization and  
fragmentation of phosphorus tri-  
fluoride by electron impact.

A. 1975. 83 N2, 20501f.

HO (P)

5

70317.1506

34469

1976

Ch, Ph, TC, MGU

PF<sub>2</sub>

\* 9-17642

Deb B.M., Bose S.K., Sen P.N.  
 Geometry predictions for  $\text{HAB}_2$  and  $\text{AB}_5$   
 molecules based on their highest occupied  
 molecular orbitals. "Indian J. Pure and  
 Appl. Phys.", 1976, 14, N 6, 444-452.

(англ.)

0832 ФМК

793 793 8231

ВИНИТИ

60604.3693

TC, Ph, Ch, MGU

96201

PJ2

Кв. мет.  
расчет

1976

\* 4-13897

Hudson A., Treweek R.F. The structure and hyperfine splittings of simple phosphoranyl radicals. "Chem. Phys. Lett.", 1976, 39, N 2, 248-249 (англ.)

XIII - 8488

0529 мин

614 615

2 1

ВИНИТИ

PF<sub>2</sub>

1977

Sondagar M. K.

curr.  
work.

J. Shivaji Univ.: Sci., 1977,  
17, 27-38.

● (curr Cl<sub>2</sub>O) III

PF<sub>2</sub>

ommuca 8364

1979

Hinchliffe A; et al.

kb. uex.  
fucis

J. Mol. Spectrosc;  
1979, 54, 231-8

(Per. NH<sub>2</sub>; <sup>14</sup>)

$PF_2^+$

[Оммуек 13203]

1981

Marrison J. F.,

Электрон.

J. Amer. Chem. Soc.,

Структур.

1981, 103, N 25, 7406-

- 7413.

PF<sub>2</sub><sup>+</sup>

[Om. 18055]

1983

Neskovic O., Miletic M.,  
et al.

(A.P.)

J. Chem. Soc. Faraday

Trans., 1983, Pt 2, 79,

● NG, 1341-1346.

PF<sub>2</sub>

1984

Berkowitz J., Greene J.P.,  
et al.

J. Chem. Phys., 1984; 81,  
No. 12, Pt 2, 6166-6175.

(see  NF<sub>3</sub><sup>+</sup>; III)

PF<sub>2</sub>

1986

106: 204576j Mass spectrometric study of PF<sub>2</sub> radical: Neskovic, O. M. (OOUR Inst. Hem., Belgrade, Yugoslavia). *Vestn. Slov. Kem. Drus.* 1986, 33(Suppl.), 281-2 (Serbo-Croatian). Exptl. details and the results of the study are presented. The photoionization efficiency curve of PF<sub>2</sub> radical was obsd. and had a structure in the vicinity of the ionization threshold. The efficiency ionization curves were obsd. of PF<sub>2</sub><sup>+</sup> from PF<sub>3</sub>, P<sub>2</sub>F<sub>4</sub> and PF<sub>2</sub>I with similar results. The anal. of the fine structure of ionization curves and the results were compared with those of MO calcn. of vibration energy of the PF<sub>2</sub> radical. The energy of the 0-0 transition was detd. i.e. the adiabatic ionization potential of PF<sub>2</sub> radical is 8.847 ± 0.01 eV. G. Stoydin

(9)

C.A. 1987, 106, N 24

PF<sub>2</sub>

1986

105: 123248f The microwave spectrum of the difluorophosphine (PF<sub>2</sub>) radical in the  $\tilde{X}^2B_1$  ground vibronic state. Saito, Shoji; Endo, Yasuki; Hirota, Eizi (Inst. Mol. Sci., Okazaki, Japan 444). *J. Chem. Phys.* 1986, 85(4), 1778-84 (Eng). The microwave spectrum of the PF<sub>2</sub> radical in the  $\tilde{X}^2B_1$  ground vibronic state was obsd. by using a source modulation spectrometer. The radical was produced in a free-space absorption cell by a d.c. glow discharge in a mixt. of PH<sub>3</sub> and CF<sub>4</sub>, and 260 spectral lines were obsd. at 63-181 GHz and were assigned to 37 rotational transitions. The lines were least-squares analyzed to det. the rotational const., centrifugal distortion const., spin-rotation coupling const. with centrifugal distortion correction terms, and magnetic hyperfine coupling const. for both the P and F nuclei. The  $a_{\text{ns}}$  spin-rotation coupling const. was very small: -30.6(4) MHz, suggesting that excited electronic states contributing to  $a_{\text{ns}}$  are all high lying or their contributions have canceled each other. The structure of PF<sub>2</sub> was calcd. from the obsd. rotational const.:  $r_0(\text{P-F}) = 1.5792(18)$  Å and  $\theta_0(\text{FPF}) = 98.48(21)^\circ$  with uncertainties in parentheses. The vibrational frequencies were estd. from the obsd. centrifugal distortion const. as  $\omega_1 = 864(14)$ ,  $\omega_2 = 365.3(11)$ , and  $\omega_3 = 848(24)$  in  $\text{cm}^{-1}$ . The  $T_{\text{cc}}$  dipolar hyperfine coupling const. for the spin d. of the unpaired electron orbital to be 92.1% and 8.1% on P and each of F, resp., whereas the  $a_{\text{F}}$  Fermi coupling const. leads to the s characters of 1.64% and 0.18% at the 2 atoms.

(M8 checkup,  
 $\tilde{X}^2B_1$ )

C.A. 1986, 105, N14

PF<sub>2</sub>

[Dm. 25948]

.1986

Saito S., Endo Y., et al.,

J. Chem. Phys., 1986,

85, N 4, 1778 - 1784.

(148 cnekmp)

1986

PF<sub>2</sub>

3 Б1326. Микроволновый спектр радикала PF<sub>2</sub> в X<sup>2</sup>B<sub>1</sub> основном вибронном состоянии. The microwave spectrum of the PF<sub>2</sub> radical in the X<sup>2</sup>B<sub>1</sub> ground vibronic state. Saito Shuji, Endo Yasuki, Hirota Eizi. «J. Chem. Phys.», 1986, 85, № 4, 1778—1784 (англ.). Место хранения ГПНТБ СССР

В обл. 63—181 ГГц измерен микроволновый спектр радикалов PF<sub>2</sub>(X<sup>2</sup>B<sub>1</sub>) образующихся в условиях проточного разряда постоянного тока через смесь PH<sub>3</sub> и CF<sub>4</sub> (давл. 0,01 мм). Значения (в МГц) вращат. постоянных (A, B, C), постоянных центробежного искажения ( $\Delta_N$ ,  $\Delta_{Nk}$ ,  $\Delta_k$ ,  $\delta_N$ ,  $\delta_k$ ), постоянных спин-вращат. взаимодействия ( $\epsilon_{aa}$ ,  $\epsilon_{bb}$ ,  $\epsilon_{cc}$ ) и параметров их центробежного искажения ( $\Delta_N^S$ ,  $\Delta_{N'k}^S$ ,  $\Delta_N^S$ ,  $\delta_N^S$ ): 27958,327, 9306,113, 6963,744,  $1,1614 \cdot 10^{-2}$ ,  $-6,828 \cdot 10^{-2}$ ,  $0,3849$ ,  $3,97 \cdot 10^{-3}$ ,  $2,013 \cdot 10^{-2}$ ,  $-30,04$ ,  $138,37$ ,  $0,46$ ,  $-8,3 \cdot 10^{-4}$ ,  $7,4 \cdot 10^{-3}$ ,  $-1,9 \cdot 10^{-2}$ ,  $-4,8 \cdot 10^{-4}$ . Приведены также параметры СТ-взаимодействия  $a_F$ ,  $T_{aa}$ ,  $T_{bb}$ ,  $T_{cc}$ . Параметры r<sub>0</sub>-структуры R<sub>0</sub>=1,5792 А,  $\angle FPF=98,48^\circ$ . Оценены частоты колебаний молекулы ( $\omega_1=864$ ,  $\omega_2=365,3$ ,  $\omega_3=848$  см<sup>-1</sup>). Обсужден характер связи в молекуле.

(М.П.)

д. 1987, 19, № 3

В. М. Ковба

PF<sub>2</sub>

1986

1 Л172. Микроволновый спектр радикала PF<sub>2</sub> в основном вибронном состоянии  $X^2B_1$ . The microwave spectrum of the PF<sub>2</sub> radical in the  $X^2B_1$  ground vibronic state. Saito Shuji, Endo Yasuki, Hirota Eizi. «J. Chem. Phys.», 1986, 85, № 4, 1778—1784 (англ.) Место хранения ГПНТБ СССР

В диапазоне 63—181 ГГц исследован микроволновый спектр радикала PF<sub>2</sub>. Идентифицированы линии 37 вращательных переходов с  $N \leq 13$  и их СТС основного электронно-колебательного состояния  $X^2B_1$  (всего 260 линий). Выполнен анализ спектра с учетом квартичного центробежного искажения, электронного спин-вращательного взаимодействия, электрон-ядерного спин-спинового взаимодействия и ферми-контактного взаимодействия для обоих ядер P и F и определены значения параметров этих взаимодействий. Из полученных значений вращательных постоянных вычислены структурные параметры ( $PF = 1,5792 \text{ \AA}$ ,  $FPF = 98,48^\circ$ ), а из центробежных постоянных оценены гармонические силовые коэф. и частоты колебаний PF<sub>2</sub>. По константам СТС оценена спиновая плотность неспаренного электрона на ядрах P (92,1%) и F (8,1%). М. Р. Алиев

(м.п.)

ф. 1987, 18, N1

$PF_2^+$

(OM. 26577)

1987

Dyke J. M.,

молекуляр.  
параметр.

J. Chem. Soc. Faraday  
Trans., 1987, Pt 2, 83, N1,  
69-87.

$FN_2^+$

1988

Яковсон В. В.,

Знобича Т. С. и др.

Ж. Неорг. хим. СССР,

с.п.

1988. 33, N 12. С. 2997-

- 3000.

(ссылка на  $FN_2^+$ ; III)

PF<sub>2</sub>

1993

119: 127380e Generation of the difluorophosphino (PF<sub>2</sub>( $\tilde{A}$  <sup>4</sup>A<sub>2</sub>)) radical and assignment of the PF<sub>2</sub>( $\tilde{A}$ - $\tilde{X}$ ) emission spectrum. Zhao, Y.; Setaer, D. W. (Department of Chemistry, Kansas State University, Manhattan, KS 66506 USA). *Chem. Phys. Lett.* 1993, 210(4-6), 362-6 (Eng). The PF<sub>2</sub>( $\tilde{A}$  <sup>4</sup>A<sub>2</sub>) radical was generated by flowing PF<sub>3</sub> through a d.c. discharge using He or Ar carrier gas. The PF<sub>2</sub>( $\tilde{A}$  <sup>4</sup>A<sub>2</sub>- $\tilde{X}$  <sup>2</sup>B<sub>1</sub>) low-resoln. emission spectrum was analyzed to obtain  $\nu_0$ ,  $\omega'_1$ ,  $\omega'_2$  and some anharmonic constns. The radiative lifetime of the PF<sub>2</sub>( $\tilde{A}$  <sup>4</sup>A<sub>2</sub>) state is  $\geq 1.9$  ns.

( $\tilde{A}^4A_2 - \tilde{X}^2B_1$ )  
P<sub>i</sub>)

C. A. 1993, 119, N 12

PF<sub>2</sub>

1994

Auster Maggie A.,  
Eriksson Lief A. et al.

теоретич. Can. J. Chem. 1994,  
работам  
европейск. 72 (3), 695-704.

(сир. ● NH<sub>2</sub>; III)

PF<sub>2</sub>

1994

15 Б156. Неэмпирическое исследование низколежащих электронных состояний радикала PF<sub>2</sub>. Ab initio study of low-lying electronic states of the PF<sub>2</sub> radical / Cai Z. L. // J. Comput. Chem. .— 1994 .— 15 , № 3 .— С. 346—350 .— Англ.

Низколежащие  
электронные  
состояния,

ab initio  
расчет

Х. N 15, 1996.

PF<sub>2</sub>

1994

120: 227604v Ab initio study of low-lying electronic states of the PF<sub>2</sub> radical. Cai, Z. L. (Dep. Chem., East China Inst. Technol., Nanjing, Peop. Rep. China 210014). *J. Comput. Chem.* 1994, 15(3), 346-50 (Eng). The equil. geometries, excitation energies, force consta., and vibrational frequencies of the low-lying electronic states X<sup>2</sup>B<sub>1</sub>, <sup>2</sup>A<sub>1</sub>, <sup>2</sup>B<sub>2</sub>, and <sup>2</sup>A<sub>2</sub> of the PF<sub>2</sub> radical were calcd. at the MRSD-CI level with a double zeta plus polarization basis set. The calcd. geometry, force consta., and vibrational frequencies for the X<sup>2</sup>B<sub>1</sub> state are in good agreement with the available exptl. data. The electronic transition moments, oscillator strengths for the <sup>2</sup>A<sub>1</sub> → X<sup>2</sup>B<sub>1</sub> and <sup>2</sup>A<sub>2</sub> → X<sup>2</sup>B<sub>1</sub> transitions, and radiative lifetimes for the <sup>2</sup>A<sub>1</sub> and <sup>2</sup>A<sub>2</sub> states were calcd. based on the MRSD-CI wave functions.

Купил на  
кажд. ком.  
неод. пункт

©.A. 1994, 120, N 18

PF<sub>2</sub>

1994

121: 216307v Observation of the PF<sub>2</sub> radical by resonance enhanced multiphoton ionization spectroscopy. Howe, J. D.; Ashfold, M. N. R.; Hudgens, J. W.; Johnson, R. D., III (Sch. Chem., Univ. Bristol, Bristol, UK BS8 1TS). *J. Chem. Phys.* 1994, 101(5), 3549-57 (Eng). The authors obsd. 9 new excited electronic states of the PF<sub>2</sub> radical in the wave no. range 50000-71000 cm<sup>-1</sup> via the 2 photon resonance enhancements they provide in mass resolved multiphoton ionization spectroscopy. The authors also report ab initio calcns. which yield optimized energies, geometries, and vibrational frequencies for the ground states of PF<sub>2</sub> and of the PF<sub>2</sub><sup>+</sup> ion. Energetic considerations, and the observation that the frequencies of the  $\nu_1'$  (sym. stretch) and  $\nu_2'$  (bending) modes in these excited states closely parallel those of the ground state ion, lead one to conclude that all 9 excited states are Rydberg states belonging to series that converge to the ground state ionization limit. Polarization analyses and band contour simulations allow one to identify the electronic symmetries of the 1st 2 of these newly identified states (<sup>2</sup>B<sub>1</sub> and <sup>2</sup>A<sub>1</sub>, resp.) and to provide and est. of the excited state geometries [r(P-F)  $\approx$  1.49 Å, <F-P-F  $\approx$  109°].

свекм,  
 смрукнефт-  
 параметр  
 $\lambda \approx 1,49 \text{ \AA}$   
 $\angle \text{FPF} = 109^\circ$

c.A. 1994, 121, N 18

PF<sub>2</sub>

1994

№ 4 Б1170. Наблюдение радикала PF<sub>2</sub> методом спектроскопии резонансно усиленной многофотонной ионизации. Observation of the PF<sub>2</sub> radical by resonance enhanced multiphoton ionization spectroscopy /Howe J. D., Ashfold M. N. R., Hudgens J. W., Johnson R. D. //J. Chem. Phys. .—1994 .—101 ,№ 5 .—С. 3549—3557 .—Англ.

Методом резонансно усиленной многофотонной (2+1)-ионизации исследованы девять новых электронных состояний радикала PF<sub>2</sub> в интервале энергий 50 000—71 000 см<sup>-1</sup>. Радикалы получали при вз-вии атомарного фтора с форфином. Для возбуждения использовали импульсный перестраиваемый (280—400 нм) лазер на красителе с удвоением частоты. Все состояния являются ридберговыми по характеру и принадлежат сериям сходящимся к первому пределу ионизации. Положение начал переходов ( $\nu_0$ ), значения частот колебаний  $\omega_1$  и  $\omega_2$  и др. колебат. постоянных (в см<sup>-1</sup>) в возбужденных электронных состояниях:  $\bar{E}^2B_1$ : 51 932, 1016, 408,

М.А.

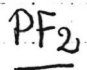
X.1995, № 4

$x_{11} = -3,5$ ,  $x_{12} = -2,6$ ;  $F'A_1$ : 55 126, 1008;  $G$ : 58 184, 998;  
 $H$ : 60 962, 1004;  $\bar{I}$ : 65 958, 980, 365,  $x_{11} = -2$ ,  $x_{12} = -6,6$ ,  
 $x_{22} = 1,5$ ;  $J$ : 66 118, 981, 366,  $x_{11} = -6$ ,  $x_{12} = -4,5$ ;  $K$ : 66 763,  
 956, 364;  $\bar{L}$ : 67 922, 956, 358;  $M$ : 68 505, 972, 345,  $x_{12} =$   
 $= 6,2$ . Семь состояний не отнесены по симметрии. Для  
 радикала  $PF_2$  и иона  $PF_2^+$  в основных электронных со-  
 стояниях выполнены неэмпирич. расчеты геометрич.  
 структуры и частот колебаний: для  $PF_2(\bar{X})$   $r_e = 1,613 \text{ \AA}$ ,  
 $\angle FPF = 98,7^\circ$ ,  $\omega_1 = 874$ ,  $\omega_2 = 343$ ,  $\omega_3 = 874 \text{ см}^{-1}$ ; потенци-  
 ал ионизации 8,77 эВ; для  $PF_2^+(\bar{X})$  соотв. 1,536  $\text{\AA}$ , 102,2°,  
 1006, 384 и 1058  $\text{см}^{-1}$ . Для двух первых возбужден-  
 ных состояний  $\bar{E}$  и  $\bar{F}$  оценены  $r(P-F)$  и  $\angle FPF$ , соотв.  
 1,49  $\text{\AA}$  и  $109^\circ$ .

В. М. Ковба



1994



Johnson R.D (III), Iizuka KIK.

Chem. Phys. Lett., 1994, 228, 51,2,3,273-78

Excited electronic states of PF<sub>2</sub>

Темп. равнов. энергии возб. состояний  
ниже 40000 см<sup>-1</sup> (<sup>2</sup>A<sub>1</sub> 15748; <sup>2</sup>B<sub>2</sub> 21791,

<sup>4</sup>B<sub>1</sub> 27528, <sup>2</sup>A<sub>1</sub> 40304, <sup>2</sup>B<sub>1</sub> 41596 см<sup>-1</sup>.

<sup>4</sup>A<sub>2</sub> 46879 см<sup>-1</sup> (±1500 см<sup>-1</sup> по отношению

к димеру, поэтому) расщеплены на две

за счет ковалентности.

набл. в работе  
[Ch. Ph. Lett, 1993,  
210, 362] сог.  
сва. с B<sub>2</sub>, a  
He<sup>+</sup>A<sub>2</sub>.

PF<sub>2</sub>

1994

№ 17 Б193. Возбужденные электронные состояния PF<sub>2</sub>.  
Excited electronic states of PF<sub>2</sub> / Johnson Russell D. (III),  
Irikura Karl K. // Chem. Phys. Lett. — 1994. — 228, №  
1—3. — С. 273—278. — Англ.

Методом теории возмущений второго порядка в полном активном пространстве с использованием атомных натуральных орбиталей рассчитаны энергии возбужденных электронных состояний PF<sub>2</sub> в области до 40 000 см<sup>-1</sup>. Получены следующие положения уровней (и их симметрия): 15798 (<sup>2</sup>A<sub>1</sub>), 21791 (<sup>2</sup>B<sub>2</sub>), 27528 (<sup>4</sup>B<sub>1</sub>), 40304 (<sup>2</sup>A<sub>1</sub>), 41596 (<sup>2</sup>B<sub>1</sub>) и 46879 (<sup>4</sup>A<sub>2</sub>) см<sup>-1</sup>. Авторы предполагают, что рассчитанные значения энергии не будут отличаться от эксперим. величин более, чем на 1500 см<sup>-1</sup>. Подтверждением последнему могут служить полученные, недавно спектроскопич. данные, свидетельствующие о том, что излучающим состоянием PF<sub>2</sub> является состояние <sup>2</sup>B<sub>2</sub>, но не <sup>4</sup>A<sub>2</sub>.  
Н. С.

М.П.

X. 1995, N 17

PF<sub>2</sub>

1994

121: 310539u Excited electronic states of PF<sub>2</sub>. Johnso, Russell D. III II; Irikura, Karl K. (Chemical Kinetics and Thermodynamics Division, National Institute of Standards and Technology, Gaithersburg, MD 20899 USA). *Chem. Phys. Lett.* 1994, 228(1,2,3), 273-8 (Eng). The energies of the states below 40000 cm<sup>-1</sup> have been calcd. at the CASPT2(3, 8)/ANO level. The symmetry assignments and energies at this level are: <sup>2</sup>A<sub>1</sub> 15798 cm<sup>-1</sup>, <sup>2</sup>B<sub>2</sub> 21791 cm<sup>-1</sup>, <sup>4</sup>B<sub>1</sub> 27528 cm<sup>-1</sup>, <sup>2</sup>A<sub>1</sub> 40304 cm<sup>-1</sup>, <sup>2</sup>B<sub>1</sub> 41596 cm<sup>-1</sup>, and <sup>4</sup>A<sub>2</sub> 46879 cm<sup>-1</sup>. We expect these energies to be within 1500 cm<sup>-1</sup> of exptl. detd. energies. These results suggest that the emitting state found in a recent spectroscopic study of PF<sub>2</sub> (*Chem. Phys. Letters* 210 (1993) 362) is not the <sup>4</sup>A<sub>2</sub> state but the <sup>2</sup>B<sub>2</sub> state.

босъуаг.  
ж. СОСМ.

T<sub>e</sub> < 40 000 cm<sup>-1</sup>

неоп. парамет

С.А. 1994, 121, N 26

PF<sub>2</sub>, PF<sub>2</sub><sup>+</sup>

пер. расч.  
электр. сост.  
состояний

Latifzadeh L., Balasubramanian K.,  
Chem. Phys. Lett. 1994, 228, 463-70.  
Electronic states of PF<sub>2</sub> and PF<sub>2</sub><sup>+</sup>.

1994

1994

$PF_2$   
 $PF_2^+$

→ 17 Б194. Электронные состояния  $PF_2$  и  $PF_2^+$ . Electronic states of  $PF_2$  and  $PF_2^+$  / Latifzadeh Lida, Balasubramanian K. // Chem. Phys. Lett. — 1994 — 228, № 4—5 — С. 463—470 — Англ.

М.Л.

Методами ССП в полном активном пространстве (ССП ПАП) и конфигурац. вз-вия по отношению к нескольким исходным конфигурациям с учетом одно- и двукратных возбуждений (КВ НИК ОД) исследованы основные и возбужденные электронные состояния  $PF_2$  и  $PF_2^+$ . Используются два типа базисов — расширенные базисы с учетом всех электронов и валентные базисы с релятивистскими эффективными основными потенциалами. Для связанных состояний определены спектроскопич. св-ва. Энергии диссоциации  $PF-F$  получены в рамках квадратичного метода конфигурац. вз-вия и приближений ССП ПАП и КВ НИК ОД. Библ. 42. Н. С.

Х. 1995, № 17

PF<sub>2</sub>  
PF<sub>2</sub><sup>+</sup>

1994

121: 238676s Electronic states of PF<sub>2</sub> and PF<sub>2</sub><sup>+</sup>. Latifzadeh, Lida; Balasubramanian, K. (Department of Chemistry and Biochemistry, Arizona State University, Tempe, AZ 85287-1604 USA). *Chem. Phys. Lett.* 1994, 228(4-5), 463-70 (Eng). The ground and excited electronic states of PF<sub>2</sub> and PF<sub>2</sub><sup>+</sup> have been investigated using the complete active space SCF (CASSCF) followed by multi-ref. singles and doubles CI (MRSDCI) methods that include up to 1.2 million configurations. These states include X<sup>2</sup>B<sub>1</sub>, <sup>4</sup>A<sub>2</sub>, <sup>2</sup>A<sub>1</sub>(I), <sup>2</sup>A<sub>1</sub>(II), <sup>2</sup>A<sub>2</sub>, <sup>2</sup>B<sub>2</sub>(I), <sup>2</sup>B<sub>2</sub>(II), <sup>4</sup>B<sub>1</sub>, <sup>2</sup>B<sub>1</sub>(II) for PF<sub>2</sub> and <sup>1</sup>A<sub>1</sub>, <sup>2</sup>B<sub>1</sub>, <sup>1</sup>B<sub>1</sub> for PF<sub>2</sub><sup>+</sup>. Both all-electron computations employing large basis sets and relativistic effective core potentials using valence basis sets were carried out. The spectroscopic properties were detd. for the bound states. The dissociation energy of PF-F is obtained using the full second-order CI (SOC) and CASSCF/MRSDCI methods.

ОК. и КИЗКИ  
БОЖ. СОСМ,  
МЕОРЕМ. ПАС  
ЗЕМ, ДО

С.А. 1994, 121, ~20

PF<sub>2</sub><sup>+</sup>

(om. 38399)

1996

Youngshang Park and

Роберт К. R. Claude Woods,

номер 104.

номер 104. Chem. Phys., 1996,

№ 104, N14) 5547...

Accepted plus ten callu-  
cations or the potential

energy surfaces and spectroscopic constants of  $\text{SiF}_2$ ,  $\text{PF}_2^+$ ,  $\text{SO}_2$ ,  $\text{PO}_2^-$ , and  $\text{ClO}_2^+$ .

PF<sub>2</sub>

9,39171

1997

133: 10568v HeI photoelectron spectra of PH<sub>2</sub> and PF<sub>2</sub>: comparison between simulation and experiment. Chau, Foo-Tim; Dyke, John M.; Lee, Edmond P. F.; Ridha, Abed; Wang, De-Chao (The Hong Kong Polytechnic University, Kowloon, Hong Kong). *Chem. Phys.* 1997, 224(2,3), 157-173 (Eng), Elsevier Science B.V. Correction of CA 128: 133992h. MO calcs. on PH<sub>2</sub> and PF<sub>2</sub> and some of their low-lying cationic states, followed by Franck-Condon calcs., were performed with the objective of simulating HeI photoelectron bands of these radicals. The MO calcs. involved MP2 and CCSD(T) geometry optimization and frequency calcs., with basis sets of size up to 6-311G(3df,2p), and as

моп. радем,  
гомоп. снм,  
J

(+) PH<sub>2</sub> Δ

C.A. 2000, 133, N1

well as G1/G2 calcns. Franck-Condon simulations of photoelectron bands were performed using force consts. derived from the ab initio calcns. Based on comparison between simulated and obsd. spectra, the 1st adiabatic ionization energy of  $\text{PH}_2$  was confirmed as  $(9.84 \pm 0.01)$  eV and the lowest singlet-triplet sepn. in  $\text{PH}_2^+$  ( $^1\text{A}_1 - ^3\text{B}_1$ ) was deduced as  $(0.78 \pm 0.04)$  eV. Also, the 1st adiabatic ionization energy of  $\text{PF}_2$ , corresponding to the ionization  $\text{PF}_2^+ \ ^1\text{A}_1 \leftarrow \text{PF}_2 \ \text{X}^2\text{B}_1$ , was established as  $(8.84 \pm 0.01)$  eV. The vibrational structure obsd. in the 1st band of  $\text{PF}_2^+$  was assigned to excitation of the sym. stretching mode ( $\nu_1$ ) in  $\text{PF}_2^+$  ( $\text{X}^1\text{A}_1$ ) and the vibrational structure obsd. in the 2nd band of  $\text{PH}_2^+$  was assigned to excitation of the deformation mode ( $\nu_2$ ) in  $\text{PH}_2^+$  ( $^3\text{B}_1$ ).

PF<sub>2</sub>

1997

Nguyen M. T., Creve S.,  
et al.

констант.  
сверхтонкого  
расщеплен.,  
и. п.

Mol. Phys. 1997,  
91 (3), 537 - 550.

(● PH; III)

PF<sub>2</sub>

(Om 39158)

1998

Jiande Gu, Kaixian Chen  
et al.,

(Ac)

J. Chem. Phys., 1998,  
108 (3), 1050 - 1054.



$PF_2^+$

Lugez, C. d., et al., 1998

$\bar{v}_i$ ,  
ab initio  
лек черепр

J. Chem. Phys. 1998,  
108 (20), 8381-93

(all- $PF_4^+$ , ● III)

PF<sub>2</sub>

1999

Jursic, B.S.

THEOCHEM 1999, 465 (2-3),  
193-196

(g, Ae)

(all. PF, III)

PF<sub>2</sub>

(DM. 40280)

2000

Music B.S.

Y, Ae

Y. Nat. Struct (Theorem),  
2000, 507, 11-16.